

بررسی و شبیه‌سازی چرخه‌ی خنک‌کن مبتنی بر طرح میسوتسنکو

مهدی توحیدلو (دانشجوی ارشد)

محمدعلی بختیاری (دانشجوی ارشد)

محمدحسن سعیدی * (استاد)

دانشکده‌ی مهندسی مکانیک، دانشگاه صنعتی شریف

چرخه‌ی میسوتسنکو یک مفهوم ترمودینامیکی است که با استفاده از انرژی ناشی از گرمای نهان تبخیر آب، باعث خنک شدن جریان هوا می‌شود. این چرخه به دلیل خنک کردن دمای جریان هوا تا دمای نقطه‌ی شبنم آن، در حوزه تهویه مطبوع، به عنوان چرخه‌ی خنک‌کننده با بازدهی بالا شناخته شده است. در پژوهش حاضر، معادلات حاکم بر یک مبدل جرم - حرارت مبتنی بر چرخه‌ی میسوتسنکو، استخراج شده است. این مبدل جدید در شرایط آب و هوای شهر تهران مورد بررسی واقع شده است. در مطالعه‌ی حاضر، دمای هوای شهر تهران در عبور از دستگاه، از $40/2$ درجه سلسیوس تا $22/2$ درجه خنک می‌شود. در این مطالعه اقلیم‌های مختلف ایران نیز بررسی شده‌اند. نتایج نشان داد که خنک‌کننده‌ی مبتنی بر چرخه‌ی میسوتسنکو، برای بیش از 85% جمعیت و برای بیش از 86% مناطق ایران، کارایی مطلوبی دارد و به طور متوسط با ضریب عملکرد متوسط 31 کار می‌کند.

mahdi.tohidloo@mech.sharif.edu
mohammadali.bakhtiar@mech.sharif.edu
saman@sharif.edu

واژگان کلیدی: چرخه‌ی میسوتسنکو، شبیه‌سازی، تبرید تبخیری، تهویه مطبوع، ضریب عملکرد، شرایط آسایش حرارتی.

۱. مقدمه

توسط ایشان با نام‌هایی همچون چرخه‌ی میسوتسنکو و چرخه‌ی ام شناخته شده است.

چرخه‌ی میسوتسنکو یک چرخه تبرید تبخیری غیر مستقیم است که قادر است دمای هوای ورودی را تا دمای نقطه شبنم آن کاهش دهد. پدیده‌ی مؤثر بر ایجاد سرمایش در این چرخه، تبخیر آب و استفاده از گرمای نهان تبخیر آن است. برای این چرخه نیز دو جریان هوای خروجی متقاول وجود دارد. جریان هوای اول که بدون افزودن رطوبت خنک می‌شود و جریان هوای دوم که در حین خنک شدن، رطوبت نیز دریافت می‌کند. جریان هوای اول به مصرف کننده‌ی نهایی تحویل داده می‌شود که به همین دلیل با نام جریان محصول شناخته می‌شود. جریان هوای دوم نیز با توجه به رطوبت افزوده شده به آن، با نام جریان مرطوب شناخته می‌شود. جریان هوای مرطوب به جو تخلیه می‌شود یا می‌توان از آن برای کاربردهای خاص استفاده کرد.^[۱]

در شکل ۱ طرح واره‌بی از جریان‌های ورودی و خروجی به یک سیستم تهویه مطبوع مبتنی بر چرخه‌ی میسوتسنکو نشان داده شده است.

فرایند خنک‌سازی در این چرخه به این صورت است که هوای ورودی به کانال‌های محصول هدایت می‌شود. هوا در حین عبور از درون این کانال‌ها خنک

بخش قابل توجهی از مصرف انرژی در سطح جهان در بخش خانگی و به ممنظور تأمین شرایط آسایش افزاید مصرف می‌شود.^[۲] مصرف انرژی در بخش مسکونی 40 درصد از کل مصرف انرژی جهانی است.^[۳] به دلیل اثراً مخرب مصرف بی‌رویه انرژی بر محیط زیست، امروزه نیاز به کاهش مصرف انرژی بیش از پیش احساس شده است. به ممنظور کاهش مصرف انرژی در این بخش راهکارهای مختلفی از جمله بهبود عایق‌سازی منازل، بهبود بازده انرژی دستگاه‌های تهویه مطبوع و ابداع روش‌های جدیدی به ممنظور ایجاد سرمایش معرفی شده است.^[۴-۵] در این میان بهبود بازده انرژی دستگاه‌ها به دلیل مقرون به صرفه بودن بسیار بیشتر از روش‌های دیگر مورد توجه پژوهشگران بوده است.^[۶-۷] در این میان چرخه‌ها و دستگاه‌های جدید مبتنی بر این چرخه‌های جدید، توسعه پژوهشگران به صنعت تهویه مطبوع معرفی شد. از جمله‌ی این چرخه‌ها، چرخه‌ی موسوم به میسوتسنکو داشتمد اهل شوروی سابق بوده است که یکی از بهینه‌ترین سیستم‌های موجود را معرفی کرده است.^[۸] چرخه‌ی معرفی شده

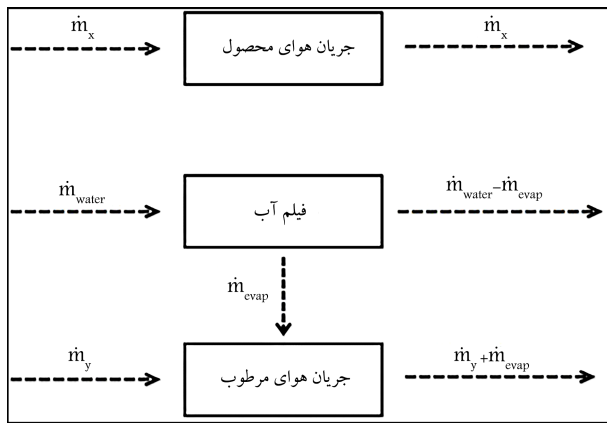
* نویسنده مسئول

تاریخ: دریافت ۲۰ اردیبهشت ۱۴۰۱، اصلاحیه ۲۳، ۱۴۰۱، پذیرش ۷، ۲۴ اردیبهشت ۱۴۰۱.

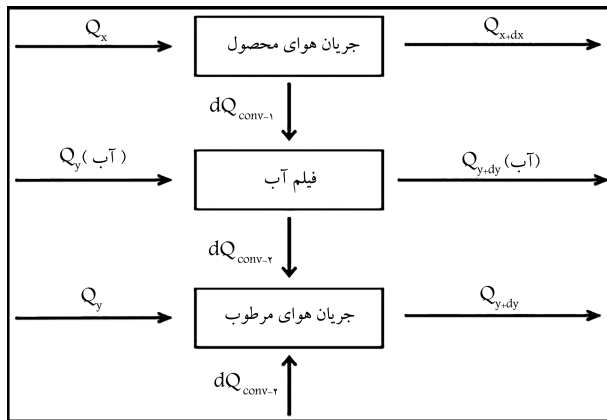
DOI: 10.24200/J40.2022.60517.1648

استاد به این مقاله:

توحیدلو، مهدی، بختیاری، محمدعلی و سعیدی، محمدحسن (۱۴۰۲). «بررسی و شبیه‌سازی چرخه‌ی خنک‌کن مبتنی بر طرح میسوتسنکو»، مهندسی مکانیک شریف، (۱) ۳۹-۳.



شکل ۳. طرح‌واره‌ی انتقال جرم در یک مبدل جرم - حرارت مبتنی بر چرخه‌ی میسوتسنکو.



شکل ۴. طرح‌واره‌ی انتقال حرارت در یک مبدل جرم - حرارت مبتنی بر چرخه‌ی میسوتسنکو.

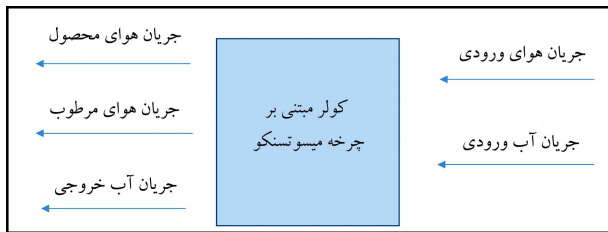
نحوه‌ی انتقال جرم در سه حجم کنترل متفاوت را نشان می‌دهد. این سه حجم کنترل بر روی سه جریان متفاوت یعنی جریان هوای محصول، جریان هوای مرطوب و جریان آب هستند. شکل ۴ نیز طرح‌واره‌ی انتقال حرارت در این دستگاه است.

۱.۲. فرضیات

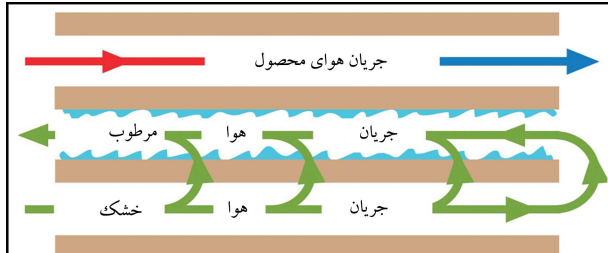
در این پژوهش از انتقال گرما به خارج از دستگاه صرف نظر شده و هوا نیز گاز ایده‌آل در نظر گرفته شده است. ضخامت دیواره‌ها تاچیز است به طوری که بتوان از مقاومت حرارتی آنها چشم پوشی کرد. همچنین دیواره‌ها نیز نفوذ ناپذیرند. از گرادیان دما درون جریان‌های هوا و آب صرف نظر شده است. همچنین میزان تبخیر آب در همه المان‌های در نظر گرفته شده در طبقه مرطوب، یکسان فرض شده است. عملکرد دستگاه نیز در شرایط پایا بررسی شده است.

۲. معادله‌ی حرارتی حاکم بر جریان هوا در طبقات خشک
با در نظر گرفتن شکل ۴، به عنوان حجم کنترل و نوشتن رابطه‌ی پایستگی انرژی در طبقه‌ی خشک (جریان هوای محصول) معادله‌ی ۱ به دست می‌آید:

$$Q_{x+dx} - Q_x = -dQ_{conv-1} \quad (1)$$



شکل ۱. طرح‌واره‌ی از جریان‌های ورودی و خروجی به مبدل جرم - حرارت بر مبنای چرخه‌ی میسوتسنکو.



شکل ۲. شماتیک عملکردی چرخه‌ی میسوتسنکو. [۱۱]

می‌شود اما در هر بخش از مسیر، مقداری از گذر حجمی آن به کانال‌های مرطوب هدایت می‌شود. در کانال‌های مرطوب، جریان‌ها در کنار جریان آب قرار گرفته و شرایط لازم برای رخ دادن پدیده‌ی تبخیر سطحی فراهم می‌شود. تبخیر آب در این بخش نیازمند انرژی گرمایی است که از سه بخش مختلف تأمین می‌شود. بخش اول مریبوط به جریان هوای محصول است. بخش دوم و سوم مریبوط به جریان‌های هوای مرطوب و آب است که با توجه به نوع طراحی این سیستم‌ها از نظر ظرفیت گرمایی در مقایسه با جریان هوای محصول بسیار کمتر بوده و به این ترتیب می‌توان از این دو بخش صرف‌نظر کرد. [۱۰] شکل ۲ نمونه‌ی از تقسیم جریان‌های هوا در سیستم‌های سرمایشی مبتنی بر چرخه‌ی میسوتسنکو را نشان می‌دهد. فقط بخشی از هوا ورودی رطوبت‌زنی شده و بخش دیگری به مصرف‌کننده تحویل داده می‌شود. همچنین هوا در حین عبور از درون کانال‌ها و همراه با خنک شدن، بخشی از جریان هوا جهت رطوبت‌زنی از مسیر اولیه‌ی خود خارج می‌شود. [۱۱]

با خنک کردن هوا بدون رطوبت‌زنی به آن، می‌توان هوا را به دمای پایین تری برای تهویه محیط از دستگاه خارج کرد بدون آن که از شرایط آسایش حرارتی خارج شوند و به این ترتیب اتلاف حرارتی ناشی از تهویه هوا را کاهش داده و برای خنک کردن محیطی مشخص، نیاز به تأمین بار سرمایشی کمتری است. [۱۲]

۲. معادلات حاکم و فرضیات مربوطه

در این مطالعه، ابتدا معادلات حاکم بر خنک‌کننده تبخیری غیر مستقیم مبتنی بر چرخه میسوتسنکو استخراج شده است و در ادامه با توجه به مدل‌سازی عددی تفاضل محدود و در نرم‌افزار متلب و با استفاده از اطلاعات هواشناسی حاکم بر شهر تهران به عنوان شرایط هوای ورودی، به صورت عددی حل شده‌اند. در نهایت نیز با استفاده از اطلاعات هواشناسی حاکم بر مراکز استان‌های کشور، امکان‌سنجی استفاده از این دستگاه در اقلیم‌های مختلف ایران بررسی شده است.

شکل‌های ۳ و ۴ طرح‌واره‌ی انتقال جرم و حرارت را در یک مبدل جرم حرارت مبتنی بر چرخه‌ی میسوتسنکو نشان می‌دهد. شکل ۳ طرح‌واره‌ی جرمی است که

به همین جهت برای جریان هوا در طبقات مرطوب، حجم کنترل حرارتی شکل ۴ و حجم کنترل جرمی شکل ۳ در کشار هم برسی شده اند.
با در نظر گرفتن شکل ۴ و نوشتن رابطه‌ی پایستگی انرژی برای حجم کنترل جریان هوای مرطوب، معادله‌ی ۱۰ به دست می‌آید:

$$Q_{y+dy} - Q_y = 2 \times dQ_{conv-1} \quad (10)$$

در معادله‌ی ۱۰، Q_y و Q_{y+dy} به ترتیب نشان‌دهنده‌ی انرژی داخلی جریان هوا، قبل و بعد از ورود به حجم کنترل هستند. Q_{conv-1} گرمای منتقل شده از طرف دیواره‌ها و فیلم آب به جریان هواست. متغیرهای معادله‌ی ۱۰ از معادلات ۱۱ تا ۱۳ محاسبه می‌شوند:

$$Q_y = \dot{m}_y \times C_{p-air} \times T_w(x, y) \quad (11)$$

$$Q_{y+dy} = \dot{m}_y \times C_{p-air} \times (T_w(x, y) + dT_w) + \dot{m}_{evap} \times h_{fg} \quad (12)$$

$$dQ_{conv-1} = h_{wet} \times \bar{i}_x \times (T_w(x, y) - T_f(x, y)) \times dy \quad (13)$$

در این معادلات، \dot{m}_y گذر جرمی جریان هوا و \dot{m}_{evap} نز تبخیر آب (بخار آب منتقل شده به جریان هوا) در اثر تبخیر سطحی است. T_w و T_f به ترتیب دمای جریان هوا در طبقات مرطوب و دمای جریان آب هستند. \bar{i}_x عرض کانال‌های مرطوب است. C_{p-air} و h_{wet} نیز به ترتیب ضریب انتقال حرارت جابه‌جایی جریان هوا و ظرفیت گرمایی ویره آن هستند. dx طول حجم کنترل است. با جایگذاری مقادیر هر یک از متغیرهای معادله‌ی ۱، معادله‌ی ۵ به دست می‌آید:

$$\dot{m}_y \times C_{p-air} \times dT_w = 2 \times h_{wet} \times \bar{i}_x \times (T_w(x, y) - T_f(x, y)) \times dy - \dot{m}_{evap} \times h_{fg} \quad (14)$$

برای محاسبه‌ی گذر جرمی هوا در طبقات مرطوب نیز از معادله‌ی ۱۵ استفاده می‌شود:

$$\dot{m}_y = \rho_{air} \times V_w \times \bar{i}_x \times (H_w - H_f) \quad (15)$$

V_w و H_w به ترتیب سرعت جریان هوا و چگالی جریان هوا هستند. H_f نیز به ترتیب ارتفاع کانال‌های مرطوب و ضخامت فیلم آب هستند.

۲.۴. معادله‌ی حرارتی حاکم بر جریان آب در طبقات مرطوب
مشابه با جریان هوا در طبقات مرطوب، حجم کنترل حرارتی شکل ۴ و حجم کنترل جرمی شکل ۳ برای جریان آب نیز در نظر گرفته شده است. رابطه‌ی پایستگی انرژی در حجم کنترل جریان آب در شکل ۳ به صورت معادله‌ی ۱۶ می‌شود:

$$Q_{y+dy}(\text{water}) - Q_y(\text{water}) = dQ_{conv-1} - dQ_{conv-2} \quad (16)$$

که در آن $Q_{y+dy}(\text{water})$ و $Q_y(\text{water})$ به ترتیب نشان‌دهنده‌ی انرژی داخلی فیلم آب قبل و بعد از ورود به حجم کنترل هستند. dQ_{conv-1} و dQ_{conv-2} نیز به ترتیب گرمای منتقل شده از دیواره به فیلم آب و گرمای منتقل شده از طرف جریان هوای مرطوب به فیلم آب هستند. متغیرهای رابطه‌ی ۱۶ از معادلات ۱۷ تا ۲۰ می‌شوند:

که در آن Q_x و Q_{x+dx} نشان‌دهنده‌ی انرژی گرمایی جریان هوا، به ترتیب قبل و بعد از ورود به حجم کنترل هستند. Q_{conv-1} نیز گرمای منتقل شده از جریان هوا به دیواره‌هاست که به صورت غیرمستقیم به فیلم آب جاری در طبقات مرطوب تحويل داده می‌شود. هر یک از متغیرهای معادله‌ی ۱ با استفاده از معادلات ۲ تا ۴ محاسبه می‌شوند:

$$Q_x = \dot{m}_x \times C_{p-air} \times T_p(x, y) \quad (2)$$

$$Q_{x+dx} = \dot{m}_x \times C_{p-air} \times (T_p(x, y) + dT_p) \quad (3)$$

$$dQ_{conv-1} = h_{product} \times \bar{i}_y \times (T_p(x, y) - T_f(x, y)) \times dx \quad (4)$$

که در این معادلات \dot{m}_x گذر جرمی جریان هواست. T_p به ترتیب دمای جریان هوا در طبقات خشک و دمای جریان آب هستند. \bar{i}_y عرض کانال‌های درون طبقه خشک (کانال‌های جریان‌های خشک و محصول) است. C_{p-air} و $h_{product}$ نیز ضریب انتقال حرارت جابه‌جایی جریان هوا و ظرفیت گرمایی ویره آن هستند. dx طول حجم کنترل است. با جایگذاری مقادیر هر یک از متغیرهای معادله‌ی ۱، معادله‌ی ۵ به دست می‌آید:

$$\dot{m}_x \times C_{p-air} \times (T_p(x, y) + dT_p) - \dot{m}_x \times C_{p-air} \times T_p(x, y) = -h_{product} \times \bar{i}_y \times (T_p(x, y) - T_f(x, y)) \times dx \quad (5)$$

گذر حجمی جریان هوا نیز با استفاده از معادله‌ی ۶ محاسبه می‌شود:

$$\dot{m}_x = \rho_{air} \times V_p \times \bar{i}_y \times H_p \quad (6)$$

V_p و ρ_{air} به ترتیب سرعت جریان هوا و چگالی جریان هوا هستند و N_p نیز ارتفاع کانال‌های خشک (خشک و محصول) است. با ترکیب معادلات ۵ و ۶ و انجام ساده‌سازی، معادله‌ی ۷ به دست آمد:

$$\frac{dT_p}{(T_p(x, y) - T_f(x, y))} = \frac{-h_{product}}{\rho_{air} \times V_p \times C_{p-air} \times H_p} dx \quad (7)$$

با انتگرال‌گیری از معادله‌ی ۷، رابطه‌یی برای محاسبه‌ی دمای نهایی جریان هوا در خروجی مبدل به دست می‌آید که در معادله‌ی ۸ نشان‌دهنده شده است:

$$T_p(L, y) = (T_p(0, y) - T_f(x, y)) \times e^{-\left(\frac{h_{product} \times L}{\rho_{air} \times V_p \times C_{p-air} \times H_p}\right)} + T_f(x, y) \quad (8)$$

$T_p(0, y)$ دمای اولیه جریان هوا در ورودی به مبدل و $T_p(L, y)$ دمای جریان هوا در خروجی مبدل است. معادله‌ی ۸ در حالت کلی برای هر نقطه‌ی مانند x و y در مبدل به صورت معادله‌ی ۹ خواهد بود:

$$T_p(x, y) = (T_p(x_0, y) - T_f(x, y)) \times e^{-\left(\frac{h_{product} \times x}{\rho_{air} \times V_p \times C_{p-air} \times H_p}\right)} + T_f(x, y) \quad (9)$$

x_0, y نقطه‌ی اولیه و x, y مدنظر است.

۳.۲. معادله‌ی حرارتی حاکم بر جریان هوا در طبقات مرطوب
در یک مبدل جرم حرارت مبتنی بر چرخه‌ی میسوتوسکو، در طبقات مرطوب، جریان هوای آب، با هم در تماس هستند و در کنار تبادل انرژی، تبادل جرم نیز اتفاق می‌افتد.

محاسبه می شود:

$$Q_y(\text{water}) = \dot{m}_{\text{water}} \times C_{p-\text{water}} \times T_f(x, y) \quad (17)$$

$$Q_{y+dy}(\text{water}) = \dot{m}_{\text{water}} \times C_{p-\text{water}} \times (T_f(x, y) + dT_f) \\ - \dot{m}_{\text{evap}} \times h_{fg} \quad (18)$$

$$dQ_{\text{conv}-1} = h_{\text{product}} \times \bar{i}_y \times (T_p(x, y) - T_f(x, y)) \times dx \quad (19)$$

$$dQ_{\text{conv}-2} = h_{\text{wet}} \times \bar{i}_x \times (T_w(x, y) - T_f(x, y)) \times dy \quad (20)$$

T_p و \dot{m}_{evap} به ترتیب گذر حجمی فیلم آب و نزخ تبخیر آب هستند. T_w و T_f به ترتیب دمای جریان هوا در طبقات خشک، جریان هوا در طبقات مرطوب و دمای جریان آب هستند. $C_{p-\text{water}}$ نیز ظرفیت گرمایی ویژه آب است. h_{product} و h_{wet} نیز به ترتیب ضریب انتقال حرارت جابه جایی برای جریان هوا در طبقه خشک، ضریب انتقال حرارت جابه جایی جریان هوا در طبقات مرطوب و گرمایی نهان تبخیر واحد جرم آب هستند. \bar{i}_y و \bar{i}_x به ترتیب عرض کاتال های خشک و مرطوب هستند، dx و dy نیز ابعاد حجم کنترل هستند. با جایگذاری مقادیر متغیرهای معادله ۱۶ و ساده سازی آن، معادله ۲۱ به دست می آید:

$$h_{\text{product}} \times \bar{i}_y \times (T_p(x, y) - T_f(x, y)) \times dx - \\ h_{\text{wet}} \times \bar{i}_x \times (T_w(x, y) - T_f(x, y)) \times dy + \\ \dot{m}_{\text{evap}} \times h_{fg} = \dot{m}_{\text{water}} \times C_{p-\text{water}} \times dT_f \quad (21)$$

همچنین از معادله ۲۲ گذر حجمی فیلم آب محاسبه می شود:

$$\dot{m}_{\text{water}} = \rho_{\text{water}} \times V_f \times \bar{i}_x \times H_f \quad (22)$$

V_f سرعت جریان آب، ρ_{water} چگالی آب و H_f نیز ارتفاع فیلم آب در کاتال های مرطوب است.

۵. شرایط مرزی

برای حل معادلات حرارتی به دست آمده، تعیین شرایط مرزی ضرورت دارد. به همین منظور برای هر یک از دمایا به سه شرط اولیه نیاز است. همچنین نزخ تبخیر سطحی در هر المان (\dot{m}_{evap}) نیز یکی از مجهولات است که در ادامه به محاسبه ای آن نیز پرداخته می شود. شکل ۵ نیز راستای محورها را بر روی یک مبدل جرم حرارت مبتنی بر چرخه میسوتیسکو نشان می دهد. بررسی در راستاهای افقی صورت می گیرد تا شرایط بینه مشخص شود. همچنین به دلیل تقارن در راستای عمودی، بررسی های این راستا اهمیت چندانی ندارد و با استفاده از تعداد طبقات در راستای عمودی حجم هوا از عبوری از کل دستگاه کنترل شده است.

۱. به ازای $x=0$ می توان گفت که:

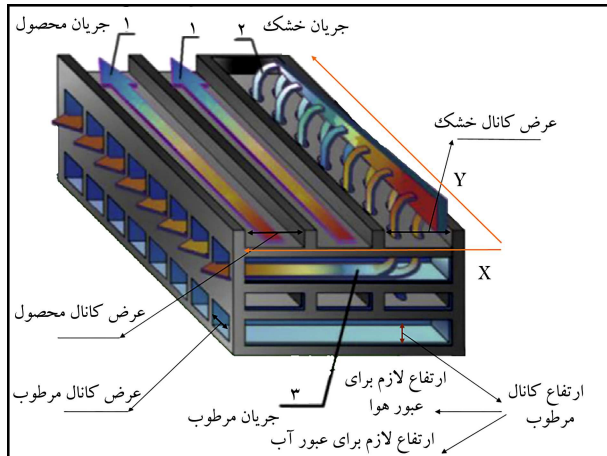
$$T_p(0, y) = T_{\text{intake}} \quad (23)$$

که در آن T_{intake} دمای هوا ورودی به مبدل است.

۲. به ازای $y=0$ می توان گفت که:

$$T_f(x, 0) = T_{\text{fl}} \quad (24)$$

که در آن T_{fl} دمای آب وارد شده به مبدل است.



شکل ۵. نمای بعدی مبدل حرارت و جرم مبتنی بر چرخه میسوتیسکو.^[۱۲]

۳. به ازای $y=0$ می توان گفت که:

$$T_w(x, 0) = T_p(x, 0) = \\ (T_p(x, 0) - T_f(x, 0)) e^{-\left(\frac{h_{\text{product}} * x}{\rho_{\text{air}} * V_p * C_{p-\text{air}} * H_p}\right)} + T_f(x, 0) \quad (25)$$

۴. برای تعیین مقدار پارامتر \dot{m}_{evap} نیز به طریق زیر انجام می شود:

با استفاده از معادله ۲۶ مقدار کل آب مصرفی در مبدل محاسبه شده است:

$$\text{evaporation ratio total} = \text{evaporation ratio} \times \text{NW} \times N \quad (26)$$

که در آن N تعداد طبقات و NW نیز تعداد کاتال های مرطوب در هر طبقه اند. در هر کاتال مرطوب نزخ تبخیر آب از معادله ۲۷ که بر نظریه چرخه میسوتیسکو، مبتنی بر این که در خروجی مرطوب هوا از رطوبت اشباع شده است، استوار می باشد، تخمین زده شده است:^[۱۳]

$$\text{evaporation ratio} = \dot{m}_y \times (\omega_s - \omega_i) \quad (27)$$

ω و ω_i به ترتیب رطوبت مطلق در حالت اشباع و رطوبت مطلق اولیه هستند. همچنین \dot{m}_y گذر حجمی جریان هوا در کاتال مرطوب است. رطوبت مطلق نیز از معادله ۲۸ تعیین می شود:^[۱۴]

$$\omega = \frac{\text{kg vapor}}{\text{kg air}} = 0.622 \times \left(\frac{\emptyset \times P_g}{P_{\text{air}} - \emptyset \times P_g} \right) \quad (28)$$

که در آن \emptyset رطوبت نسبی جریان هوا، P_{air} فشار هوا و P_g فشار اشباع بخار آب است. از معادله ۲۹ نیز برای تخمین فشار اشباع بخار آب استفاده می شود:^[۱۵]

$$P_g(\text{kpa}) = 0.61 \times \exp \left(\frac{17/625 \times T}{T + 243/0.4} \right) \quad (29)$$

که در آن T دمای هواست. نزخ تبخیر آب نیز با توجه به فرض یکسان بودن تبخیر سطحی در همه المان ها و با استفاده از معادله ۳۰ تعیین می شود:

$$\dot{m}_{\text{evap}} = \frac{\text{evaporation ratio}}{n} \quad (30)$$

که در آن n برابر تعداد المان ها در راستای y تا انتهای کاتال مرطوب است.

جدول ۲. شرایط آب و هوایی مراکز استان‌های ایران.

| شهر | دماهی حباب خشک (C) | دماهی حباب مرطوب (C) | دماهی نقطه شنبم (C) |
|------------|-----------------------|-------------------------|------------------------|
| اراک | ۳۵/۳ | ۱۵/۸ | ۲/۹ |
| اردبیل | ۲۸/۱ | ۱۸/۱ | ۱۳/۳ |
| ارومیه | ۳۲ | ۱۷/۷ | ۱۰/۱ |
| اصفهان | ۳۸/۱ | ۱۶/۶ | ۲/۲ |
| اهواز | ۴۶/۹ | ۲۲/۹ | ۱۰/۱ |
| بندر جنورد | ۳۳/۹ | ۱۷/۳ | ۷/۳ |
| بندر عباس | ۴۰/۱ | ۲۵/۳ | ۱۹/۵ |
| بوشهر | ۴۲/۹ | ۱۹/۱ | ۱/۱ |
| بیرون‌جند | ۳۷ | ۱۶/۲ | ۲ |
| تبریز | ۳۴/۲ | ۱۶/۴ | ۵/۱ |
| تهران | ۳۸/۸ | ۱۸/۱ | ۵/۶ |
| خرم‌آباد | ۳۹/۵ | ۱۷/۳ | ۲ |
| رشت | ۳۲/۱ | ۲۴/۳ | ۲۱/۳ |
| Zahedan | ۳۸ | ۱۶/۱ | ۰/۱ |
| زنجان | ۳۳ | ۱۶ | ۵/۶ |
| ساری | ۳۴ | ۲۵/۳ | ۲۲/۱ |
| سمنان | ۳۹/۷ | ۱۸/۷ | ۶/۳ |
| سنندج | ۳۷/۲ | ۱۶/۲ | ۱/۴ |
| شهرکرد | ۳۳/۶ | ۱۴/۷ | ۱/۹ |
| شیراز | ۳۸/۲ | ۱۷/۴ | ۴/۷ |
| قزوین | ۳۵/۸ | ۱۷/۲ | ۵/۸ |
| کرمان | ۳۷ | ۱۵/۷ | ۰/۸ |
| کرمانشاه | ۳۸/۸ | ۱۷/۴ | ۳/۶ |
| گرگان | ۳۵/۱ | ۲۳/۸ | ۱۹/۱ |
| مشهد | ۳۶/۱ | ۱۷/۶ | ۶/۱ |
| همدان | ۳۴/۵ | ۱۶/۲ | ۵ |
| یاسوج | ۳۴/۵ | ۱۴/۷ | ۰/۵ |
| یزد | ۴۰/۹ | ۱۶/۸ | ۱/۵ |

جدول ۱. مشخصات ابعادی کانال‌ها.^[۱۷]

| نوع کانال | بعضی از طول × ارتفاع (mm × mm × mm) | تعداد کانال‌های موجود در هر طبقه |
|-----------|--|----------------------------------|
| محصول | ۳ × ۸۰۰ × ۵۰ | ۸ |
| خشک | ۳ × ۸۰۰ × ۵۰ | ۴ |
| مرطوب | ۶ × ۳۰۰ × ۸۰ | ۲۰ |

۶.۲. ضریب عملکرد و نسبت بازدهی انرژی

برای مقایسه‌ی میزان بازدهی انرژی دو متغیر نسبت بازدهی انرژی و ضریب عملکرد مورد استفاده قرار می‌گیرند. همچنین برای بررسی کارایی دستگاه در خنک کردن هوای کمیت‌های بازدهی دمایی حباب مرطوب و بازده نقطه‌ی شنبم چنین تعریف شده‌اند:^[۱۶]

$$COP = \frac{\text{Cooling capacity}}{\text{Power usage}} \quad (۳۱)$$

$$EER = \frac{3}{4} \times COP \quad (۳۲)$$

$$\varepsilon_{wb} = \frac{T_{db,aire} - T_{db,airo}}{T_{db,aire} - T_{wb,aire}} \quad (۳۳)$$

$$\varepsilon_{dp} = \frac{T_{db,aire} - T_{dp,aire}}{T_{db,aire} - T_{dp,aire}} \quad (۳۴)$$

۷.۲. مشخصات ساختاری دستگاه

ابعاد کانال‌ها و تعداد آنها در هر طبقه با الهام از نتایج آرائه شده در جدول ۱ قابل مشاهده است.^[۱۷]

سرعت هوای ورودی به کانال‌ها نیز ۳ متر بر ثانیه است.

۸.۲. مشخصات آب و هوایی

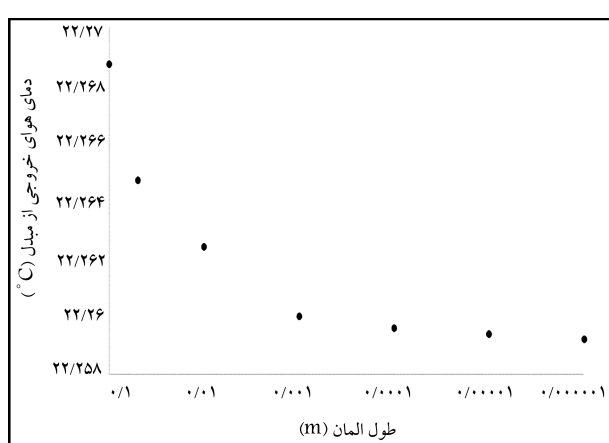
اطلاعات آب و هوایی بعضی شهرهای ایران برای سال ۲۰۱۷ در جدول ۲ قابل مشاهده است.^[۱۸] با استفاده از این اطلاعات و نیز حل معادلات حاکم بر یک مبدل جرم - حرارت می‌توان بر چرخه‌ی میسوتمنکو که در بخش‌های پیشین استخراج شده است، عملکرد یک خنک‌کننده‌ی می‌تواند بر چرخه‌ی میسوتمنکو، در کشور ایران مورد بررسی قرار گرفته است که در ادامه نتایج آن آرائه شده است.

۳. شبیه‌سازی نرم افزاری

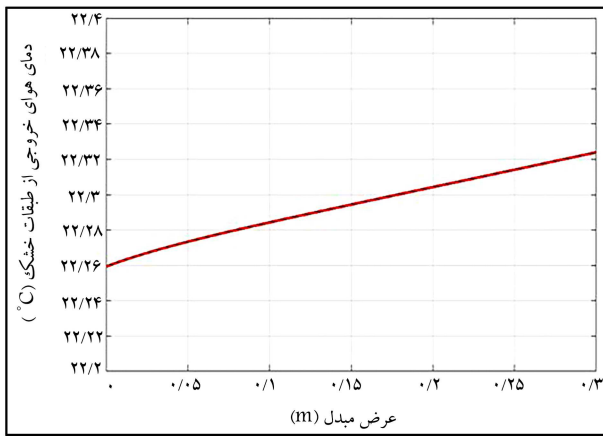
حل معالات با کمک نرم افزار مطلب انجام شده است. مش مورد استفاده برای حل به صورت دستی، متقارن و در مختصات کارتزین تعریف شده است. برای اهداف این پژوهش از مش با یک میلیون المان استفاده شده است. الگوریتم حل مورد استفاده بر مبنای اصول تقاضل محدود بوده و خطای ناشی از حل معادلات نیز از مرتبه اول است.

۱۰.۳. استقلال از مش

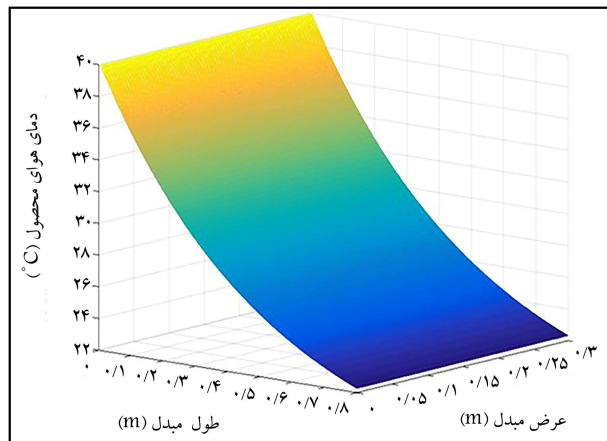
برای بررسی استقلال نتایج از اندازه مش، دمای هوای محصول خروجی از مبدل در اندازه‌های مختلف ابعاد المان مورد بررسی قرار گرفته و نتایج حاصل در نمودار شکل ۶ نشان داده شده است. با استفاده از نتایج این نمودار، اندازه‌ی المان ۱ میلی‌متری برای محاسبه و شبیه‌سازی انتخاب شد. زیرا در ابعاد مش کوچک‌تر از ۱ میلی‌متر



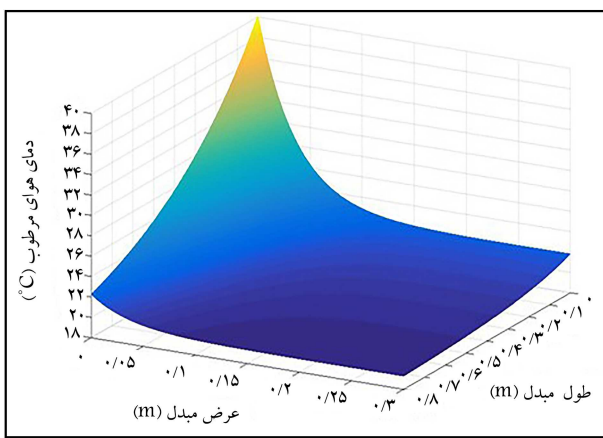
شکل ۶. بررسی استقلال نتایج از مش بندی مورد استفاده برای حل با بررسی دمای هوای محصول خروجی از مبدل.



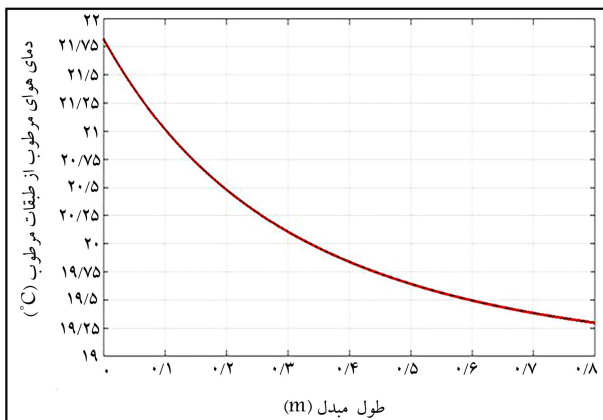
شکل ۸. روند تغییرات دمای هوای خروجی از کانال‌های محصول در راستای عرض مدل جرم - حرارت.



شکل ۷. روند تغییرات دمای هوای درون نیم طبقه کانال‌های محصول.



شکل ۹. روند تغییرات دما جریان هوا در نیم طبقات مرطوب.



شکل ۱۰. روند تغییرات دمای هوای خروجی از کانال‌های مرطوب در راستای طول مدل.

تماس مستقیم این جریان هوا با فیلم آب است. با نرخ انتقال حرارت جابه‌جاوی یکسان، گذر حجمی (که ندرتاً به معنای کمتر بودن محتوای انرژی جریان است) باعث می‌شود که نرخ انتقال حرارت یکسان اثر بیشتری بر روی تغییر دما داشته باشد. در شکل ۱۰ نیز روند تغییرات دمای جریان هوای خروجی از کانال‌های مرطوب را نشان می‌دهد. در این نمودار دما در خروجی کانال‌های مرطوب نشان داده شده

نتایج همگرا شده و کوچک‌تر کردن ابعاد مش تأثیر چشمگیری بر نتایج ندارد. درصد خطای ناشی از تغییر اندازه‌ی مش کمتر از ۵۶٪ است. برای مش نیز از مش متعامد استفاده شده، به طوری که سطح مورد نظر با استفاده از مرتعه‌ای با طول ضلع مورد نظر، مش بنده شده است.

۴. نتایج و بحث

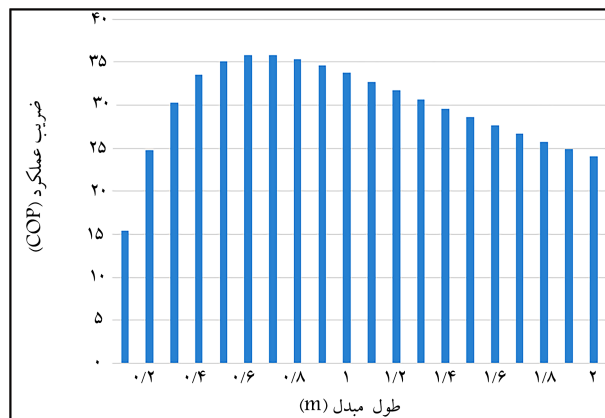
با در نظر گرفتن شرایط آب و هوایی شهر تهران به عنوان هوای ورودی به مدل، مشخصات عملکردی و تحلیل دمایی روی این دستگاه انجام گرفته و در مرحله‌ی بعد، عملکرد دستگاه و امکان استفاده از آن در شهرهای مختلف ایران نیز مورد بررسی قرار گرفته است. با توجه به تقارن، بررسی‌ها به جای طبقه کامل، بر روی نیم طبقات انجام شده است.

۴.۱. جریان هوا در نیم طبقه خشک (جریان هوای محصول)

روند تغییرات دمای جریان هوای محصول در نیم طبقات خشک در شکل ۷ نشان داده شده است. جریان هوا در ورودی این بخش (بخش راست نمودار) بالاترین دما در چرخه را داشته و با طی کردن مسیر از پیش تعیین شده، انرژی درونی خود را از دست داده و دمای آن کاهش می‌یابد. نکته‌ی قابل توجه توجه اختلاف دمای جریان از درون مدل به سمت بیرون است یعنی با دور شدن از مخزن میانی آب، دمای هوای خروجی در مقایسه با هوای کناردست مخزن، بیشتر است. این اختلاف در شکل ۸ به صورت نموداری قابل مشاهده است. دمای جریان هوای خروجی در کنار مخزن آب ۲۲/۲۶ درجه سلسیوس و دمای جریان هوای خروجی در دورترین نقطه از مخزن (که در اینجا ۳۰ سانتی متر است) ۲۲/۲۳ درجه سلسیوس است. این اختلاف در طراحی پیش روکم و عوضاً قابل صرف نظر کردن است، اما برای ساخت دستگاه‌های بزرگ‌تر باستی مورد بررسی قرار گیرد.

۴.۲. جریان هوا در نیم طبقه‌ی مرطوب (جریان هوای رطوبت‌زنی شده)

در شکل ۹ روند تغییرات دمایی جریان هوا درون نیم طبقه‌ی مرطوب قابل مشاهده است. افت دما در این بخش بیشتر از بخش هوای محصول است که دلیل آن کسر بودن گذر حجمی هوا در این بخش به نسبت طبقه‌ی هوای محصول و همچنین



شکل ۱۳. روند تغییرات دمای آب در خروجی طبقات مرطوب.

دستگاه در اثر افزایش طول مدل، طول $8/0$ متر به عنوان طول بهینه انتخاب شده است.

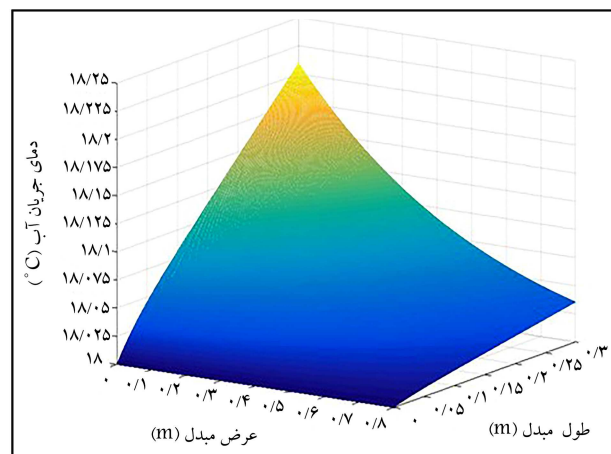
۴. عملکرد دستگاه در ایران

در این مرحله عملکرد دستگاه در شهرهای مختلف ایران مورد بررسی قرار گرفته است. این بررسی بر دو محور اصلی متتمرکز شده است. محور اول شرایط آسایش حرارتی و محور دوم شرایط بازده مصرف انرژی. در جدول ۳ عملکرد حرارتی مدل جرم حرارت مبتنی بر چرخه‌ی میوسوتنسکو آورده شده است. ستون‌های مرطب به دمای هوازی خروجی از خنک‌کننده و رطوبت نسبی خروجی بر شرایط آسایش حرارتی مؤثّرند.^[۱۹] دستگاه‌های سرمایش تبخری متداول در شرایط ایده‌آل و با راندمان 100% توانایی کاهش دمای هوازی ورودی تا دمای حباب مرطوب را دارند.^[۲۰] این دستگاه با استفاده از بازده دمایی حباب مرطوب با سایر سیستم‌های سرمایش تبخری قابل مقایسه است. در شرایط ایده‌آل دستگاه‌هایی که بر مبنای چرخه‌ی میوسوتنسکو عمل می‌کنند، می‌توانند هوازی ورودی را تا نزدیکی دمای نقطه‌ی شبنم آن خنک کنند.^[۲۱] با استفاده از ستون بازده نقطه‌ی شبنم نیز عملکرد دستگاه مقایسه شده است. در استان‌های مختلف با حالت ایده‌آل دستگاه مطالعه در این مطالعه در جدول ۴ نیز عملکرد دستگاه در مصرف انرژی و آب نشان داده شده است.

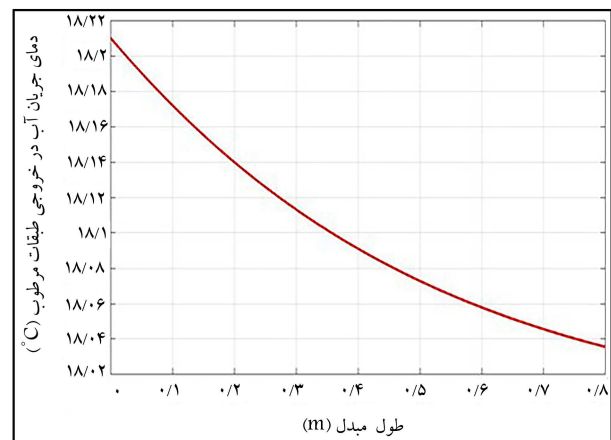
طبق استاندارد ملی ایران به شماره ۴۹۱۰، سیستم‌های مبتنی بر سرمایش تبخری با نسبت بازده انرژی بالاتر از $43/81$ در رده‌بندی انرژی الف قرار می‌گیرند. ضریب عملکرد دستگاه برای مقایسه با سیستم‌های سرمایش تراکمی متداول مناسب است. ستون مرطب به نزدیکی تبخر آب مرطب به بیشینه‌ی تبخر آب درون دستگاه در هر ساعت است. که بیان‌گر میزان مصرف آب این دستگاه است که به نسبت سایر سیستم‌های موجود در صنعت تهويه مطبوع مصرف به مرتب پایین‌تری را دارد.

۵. صحبت‌سنگی نتایج

برای صحبت‌سنگی نتایج به دست آمده، از اطلاعات شرکت سیالی اینترنشنال استفاده شده است. این شرکت با تولید دستگاه‌های تهويه مطبوع تبخری غیرمستقیم مبتنی بر چرخه‌ی میوسوتنسکو راه را برای توسعه این فناوری بازگرده است. در میان محصولات این مجموعه، خنک‌کننده‌ی ام 5° شبیه‌ترین عملکرد را به دستگاه بررسی شده در این پژوهش دارد. خنک‌کننده‌ی ام 5° طبق استاندارد اشری 143 آزمایش شده و ضریب عملکرد آن حدود $29/3$ است.^[۲۱] همچنین این دستگاه با ظرفیت هواده‌ی



شکل ۱۱. روند تغییرات دمای آب در نیم طبقات مرطوب.



شکل ۱۲. روند تغییرات دمای آب در خروجی طبقات مرطوب.

است. مشاهده می‌شود که دمای هوازی خروجی از اولین کانال مرطوب در حدود $21/8$ درجه سلسیوس است در حالی که دمای هوازی خروجی از آخرین کانال مرطوب در حدود $19/3$ درجه سلسیوس است.

۳.۴. جریان فیلم آب

در شکل ۱۱ روند تغییرات دمای جریان آب درون نیم طبقات مرطوب نمایش داده شده است. شکل ۱۲ نیز نمایانگر تغییرات دمای جریان آب در خروجی کانال‌های مرطوب است. نکته‌ی مهم در بررسی‌های صورت گرفته در این دو شکل در یکارچگی دمایی در صفحات است؛ یعنی وجود دیواره برای جداسازی کانال‌ها در عملکرد دمایی بی‌تأثیر است. بیشینه‌ی دمای جریان آب $18/25$ درجه سلسیوس و کمینه‌ی آن 18 درجه سلسیوس است که این نشانگر افت دمای جریان آب به میزان $1/39\%$ است. این اختلاف دما در حدی است که بتوان از آن چشم پوشید و دمای جریان آب را ثابت فرض کرد.

۴. طول بهینه‌ی مدل

در شکل ۱۳ روند تغییرات ضریب عملکرد خنک‌کننده در طول‌های مختلف مدل جرم و حرارت مورد بررسی قرار گرفته است. با در نظر گرفتن افزایش هزینه ساخت

جدول ۴. مشخصات عملکردی خنک‌کننده تبخیری مبتنی بر چرخه‌ی میسوتسنکو از نقطه‌نظر مصرف آب و انرژی در شهرهای ایران.

| شهر | نسبت بازده انرژی (EER) | ضریب عملکرد (COP) | نرخ تبخیر آب (لیتر بر ساعت) |
|-----------|------------------------|-------------------|-----------------------------|
| اراک | ۱۰۰/۴ | ۲۹/۴۱ | ۳/۴۹ |
| اردبیل | ۵۸/۶ | ۱۷/۱۷ | ۲/۰۳ |
| ارومیه | ۸۱/۲ | ۲۳/۸ | ۲/۸۲ |
| اصفهان | ۱۱۶/۶ | ۳۴/۱۷ | ۴/۰۵ |
| اهواز | ۱۶۷/۷ | ۴۹/۱۴ | ۵/۸۳ |
| بندر جنوب | ۹۲/۳ | ۲۷/۳ | ۳/۲۱ |
| بندر عباس | ۱۲۸/۳ | ۳۷/۵۸ | ۴/۴۶ |
| بوشهر | ۱۴۴/۵ | ۴۲/۳۴ | ۵/۰۲ |
| بیرونی | ۱۱۰/۷ | ۳۲/۳ | ۳/۸۳ |
| تبیز | ۹۴ | ۲۷/۵۴ | ۳/۲۷ |
| تهران | ۱۲۰/۷ | ۳۵/۳۶ | ۴/۰۲ |
| خرم آباد | ۱۲۴/۷ | ۳۶/۵۶ | ۴/۳۴ |
| رشت | ۸۱/۸ | ۲۳/۹۷ | ۲/۸۴ |
| زاہدان | ۱۱۶ | ۳۴ | ۴/۰۳ |
| زنجان | ۷۲/۷ | ۲۱/۲۹ | ۲/۵۲ |
| ساری | ۹۲/۸ | ۲۷/۲ | ۳/۲۳ |
| سمنان | ۱۲۵/۹ | ۳۶/۹ | ۴/۳۸ |
| سنندج | ۱۱۱/۴ | ۳۲/۶۴ | ۳/۸۷ |
| شهرکرد | ۹۰ | ۲۶/۵۲ | ۳/۱۵ |
| شیرواز | ۱۱۷/۲ | ۳۴/۳۴ | ۴/۰۷ |
| قزوین | ۱۰۳/۳ | ۳۰/۲۶ | ۳/۵۹ |
| کرمان | ۱۱۰/۲ | ۳۲/۳ | ۳/۸۳ |
| کرمانشاه | ۱۲۰/۷ | ۳۵/۳۶ | ۴/۲ |
| گرگان | ۹۹/۲ | ۲۹/۰۷ | ۳/۴۵ |
| مشهد | ۱۰۵ | ۳۰/۷۷ | ۳/۶۵ |
| همدان | ۹۵/۷ | ۲۸/۵ | ۳/۳۳ |
| یاسوج | ۹۵/۷ | ۲۸/۵ | ۳/۳۳ |
| یزد | ۱۳۲/۹ | ۳۸/۹۴ | ۴/۶۲ |

جدول ۳. عملکرد دمایی خنک‌کننده مبتنی بر چرخه‌ی میسوتسنکو در شهرهای ایران.

| شهر | دماهی هواز کولر (C) | دماهی حباب مرطوب (C) | دماهی شبینه (C) | رطوبت نسبی خروجی (%) |
|-----------|---------------------|----------------------|-----------------|----------------------|
| اراک | ۲۱/۳۲ | ۱۵/۸ | ۲/۹ | ۲۸/۸۵ |
| اردبیل | ۱۹/۹۴ | ۱۸/۱ | ۱۳/۳ | ۶۴/۲۶ |
| ارومیه | ۲۰/۶۹ | ۱۷/۷ | ۱۰/۱ | ۴۹/۲۷ |
| اصفهان | ۲۱/۸۶ | ۱۶/۶ | ۲/۲ | ۲۶/۵۱ |
| اهواز | ۲۳/۵۵ | ۲۲/۹ | ۱۰/۱ | ۴۱/۳۱ |
| بندر جنوب | ۲۱/۰۵ | ۱۷/۳ | ۷/۳ | ۴۰/۰۳ |
| بندر عباس | ۲۲/۲۴ | ۲۵/۳ | ۱۹/۵ | ۸۲/۰۸ |
| بوشهر | ۲۲/۷۸ | ۱۹/۱ | ۱/۱ | ۲۳/۲۱ |
| بیرونی | ۲۱/۶۵ | ۱۶/۲ | ۲ | ۲۶/۷۴ |
| تبیز | ۲۱/۱۱ | ۱۶/۴ | ۵/۱ | ۳۴/۲۴ |
| تهران | ۲۱/۹۹ | ۱۸/۱ | ۵/۶ | ۳۲/۴۱ |
| خرم آباد | ۲۲/۱۳ | ۱۷/۳ | ۲ | ۲۵/۷۳ |
| رشت | ۲۰/۷۱ | ۲۴/۳ | ۲۱/۳ | ۱۰۱/۴۹ |
| زاہدان | ۲۱/۸۴ | ۱۶/۱ | ۰/۱ | ۲۲/۹۴ |
| زنجان | ۲۲/۸۸ | ۱۶ | ۵/۶ | ۳۱/۹۱ |
| ساری | ۲۱/۷ | ۲۵/۳ | ۲۲/۱ | ۱۰۴/۱۶ |
| سمنان | ۲۲/۱۷ | ۱۸/۷ | ۶/۳ | ۳۴/۴۱ |
| سنندج | ۲۱/۶۹ | ۱۶/۲ | ۱/۴ | ۲۵/۵۳ |
| شهرکرد | ۲۰/۹۹ | ۱۴/۷ | ۱/۹ | ۲۷/۶۴ |
| شیرواز | ۲۱/۸۸ | ۱۷/۴ | ۴/۷ | ۳۱/۶ |
| قزوین | ۲۱/۴۲ | ۱۷/۲ | ۵/۸ | ۳۵/۰۹ |
| کرمان | ۲۱/۶۵ | ۱۵/۷ | ۰/۸ | ۲۴/۳۷ |
| کرمانشاه | ۲۱/۹۹ | ۱۷/۴ | ۳/۶ | ۲۹/۳۳ |
| گرگان | ۲۱/۲۸ | ۲۳/۸ | ۱۹/۱ | ۸۵/۳۸ |
| مشهد | ۲۱/۴۸ | ۱۷/۶ | ۶/۱ | ۳۵/۷۷ |
| همدان | ۲۱/۱۷ | ۱۶/۲ | ۵ | ۳۴/۰۵ |
| یاسوج | ۲۱/۱۷ | ۱۴/۷ | ۰/۵ | ۲۴/۶۸ |
| یزد | ۲۲/۴ | ۱۶/۸ | ۱/۵ | ۱۹/۷۴ |

۴ گزارش شد، با در نظر گرفتن شرایط آسایش حرارتی [۲۲] خنک‌کننده تبخیری مبتنی بر چرخه‌ی میسوتسنکو در بیش از ۸۶٪ از مناطق ایران قابل استفاده است و در این مناطق، برچسب انرژی الف را مطابق با استاندارد ملی ایران خواهد داشت. همچنین بر طبق آخرین آمار ارائه شده برای جمعیت هر استان کشور ایران [۱۸] می‌توان ادعای کرد که امکان استفاده از این خنک‌کننده برای بیش از ۸۵٪ از جمعیت کشور وجود دارد. این دستگاه دوسوم از های ورودی به دستگاه را از حدود ۳۷ درجه به حدود ۲۱ درجه سلسیوس در یک مبدل با طول ۸۰ سانتی‌متر رسانده و به مصرف‌کننده نهایی تحویل می‌دهد. با افزایش طول مبدل، زمان تبادل حرارت بین جریان‌های هوا و آب افزایش یافته و در نتیجه افت دما بیشتر می‌شود اما با در نظر گرفتن شکل ۹ می‌توان طول مبدل ۸۰ سانتی‌متر را در این طراحی به عنوان طول بهینه در نظر گرفت. به طوری که با افزایش طول مبدل، عملکرد مبدل بهبود چشمگیری ندارد اما

۶۳۵ لیتر بر ثانیه می‌تواند دمای هوا ورودی را به حدود ۱۲۰٪ تا ۹۵٪ دمای حباب مرطوب هوا ورودی کاهش دهد. این پژوهش نشان می‌دهد که خنک‌کننده تبخیری غیرمستقیم مبتنی بر چرخه‌ی میسوتسنکو به طور میانگین در شهرهای ایران می‌تواند دمای هوا ورودی را به حدود ۸۴/۶۶٪ دمای حباب مرطوب آن کاهش دهد. با حذف مناطق کوهستانی ایران از این میانگین‌گیری، میانگین کاهش دمای هوا به حدود ۴/۹۰٪ دمای حباب مرطوب ورودی است که در مقایسه با ۹۵٪ گزارش شده توسط شرکت سیلی ایترنشنال به میزان قابل قبولی نزدیکی دارد.

۶. نتیجه‌گیری

با توجه به عملکرد مبدل جرم حرارت مبتنی بر چرخه‌ی میسوتسنکو که در جداول ۳ و

$$\begin{aligned}
 \bar{L}_x &= \text{عرض کanal مرطوب} [\text{m}] \\
 \bar{L}_y &= \text{عرض کanal خشک} [\text{m}] \\
 K &= \text{ضریب هدایت حرارتی} [\text{W/mK}] \\
 L &= \text{طول کanal} [\text{m}] \\
 \dot{m}_{\text{evap}} &= \text{نخ تبخیر آب در هر المان} [\text{kg/s}] \\
 \dot{m}_x &= \text{دبی جرمی عبوری هوا از کanal های خشک} [\text{kg/s}] \\
 \dot{m}_y &= \text{دبی جرمی عبوری از کanal مرطوب} [\text{kg/s}] \\
 \dot{m}_{\text{water}} &= \text{دبی جرمی عبوری از فیلم آب} [\text{kg/s}] \\
 N &= \text{تعداد طبقات مبدل} \\
 N_w &= \text{تعداد کanal های مرطوب} \\
 P_{\text{air}} &= \text{فشار هوا} [\text{Pa}] \\
 P_g &= \text{فشار اشباع بخار آب} [\text{Pa}] \\
 &= \text{خروجی} \\
 Q_{\text{dry}} &= \text{دبی کل هوای عبوری از کanal های خشک} [\text{m}^3/\text{s}] \\
 Q_{\text{product}} &= \text{دبی کل هوای عبوری از کanal های محصول} [\text{m}^3/\text{s}] \\
 Q_{\text{water}} &= \text{دبی کل آب} [\text{m}^3/\text{s}] \\
 Q_{\text{wet}} &= \text{دبی کل هوای عبوری از کanal های مرطوب} [\text{m}^3/\text{s}] \\
 T_p(x, y) &= \text{دما} \text{ی هوا در کanal خشک} [{}^\circ\text{C}] \\
 T_w(x, y) &= \text{دما} \text{ی هوا در طول کanal مرطوب} [{}^\circ\text{C}] \\
 T_{\text{intake}} &= \text{دما} \text{ی هوا ورودی} [{}^\circ\text{C}] \\
 T_f(x, y) &= \text{دما} \text{ی فیلم آب} [{}^\circ\text{C}] \\
 T_{\text{fi}} &= \text{دما} \text{ی فیلم آب در ورودی} [{}^\circ\text{C}] \\
 T_{\text{out}} &= \text{دما} \text{ی هوای خروجی} [{}^\circ\text{C}] \\
 T_{\text{wb}} &= \text{دما} \text{ی حباب مرطوب} [{}^\circ\text{C}] \\
 T_{\text{dp}} &= \text{دما} \text{ی نقطه} \text{ی شنبم} [{}^\circ\text{C}] \\
 T_{\text{db}} &= \text{دما} \text{ی حباب خشک} [{}^\circ\text{C}] \\
 V_f &= \text{سرعت آب در فیلم آب} [\text{m/s}] \\
 V_p &= \text{سرعت هوا در کanal خشک} [\text{m/s}] \\
 V_w &= \text{سرعت جریان هوا در کanal مرطوب} [\text{m/s}] \\
 W &= \text{عرض مبدل} [\text{m}] \\
 X &= \text{محور درجهت طول مبدل} [\text{m}] \\
 Y &= \text{محور درجهت عرض مبدل} [\text{m}]
 \end{aligned}$$

در مقابل هزینه ساخت مبدل به دلیل افزایش مواد اولیه مصرفی، افزایش می‌یابد. همچنین با درنظر گرفتن شکل‌های ۱۱ و ۱۲ می‌توان دمای جریان آب و جریان هوای مرطوب را در بیش از نیمی از سطح مقطع طبقات مرطوب ثابت درنظر گرفت و از تغییر دما صرف نظر کرد.

۷. جمع‌بندی

در این مطالعه معادلات حاکم بر یک خنک‌کننده تبخیری مبتنی بر چرخه میسوتینکو استخراج شد و در ادامه با توجه به روش عددی تقاضل محدود و نیز اطلاعات هواشناسی شهر تهران به عنوان شرایط هوای ورودی به خنک‌کننده، تحلیلی دمایی بر روی مبدل این خنک‌کننده صورت گرفت. نتایج به دست آمده از این تحلیل حاکی از آن است که یک خنک‌کننده مبتنی بر چرخه میسوتینکو می‌تواند دمای هوای شهری مانند تهران را تا حدود ۱۸ درجه سلسیوس نسبت دمای هوای ورودی کاهش دهد. در ادامه نیز با درنظر گرفتن مراکز هر استان به عنوان نماینده آن استان، عملکرد این خنک‌کننده در استان‌های مختلف ایران بررسی شد. با استفاده از نتایج خروجی به دست آمده از قبیل رطوبت نسبی خروجی و دمای هوای خروجی توانایی ایجاد شرایط آسایش حرارتی، برای خنک‌کننده مفروض در این مطالعه مورد بررسی قرار گرفت. با استفاده از اطلاعاتی مانند بازدهی دمایی حباب مرطوب و بازدهی دمایی نقطه شنبم مقایسه بین خنک‌کننده مفروض با سایر سیستم‌های موجود در صنعت تهیه مطبوع و همچنین با عملکرد خنک‌کننده مبتنی بر چرخه میسوتینکو در حالت ایده‌آل انجام شد.

در نهایت نیز در استان‌های مختلف کشور، نتایج عملکردی این خنک‌کننده از نظر مصرف انرژی و آب گزارش شد. نتایج نشان از عملکرد بسیار مطلوب این خنک‌کننده در ایران می‌دهد، به طوری که بیش از ۸۶٪ از مناطق و بیش از ۸۵٪ از جمیعت کشور امکان بهره‌مندی از این خنک‌کننده را با ضریب عملکرد متوسطی در حدود ۳۱ دارند.

فهرست علامت و نشانه‌ها

علامت لاتین

| | |
|----------------------|--|
| e | = ورودی؛ |
| H_f | = ضخامت فیلم آب [\text{m}] |
| H_P | = ارتفاع کanal خشک [\text{m}] |
| H_w | = ارتفاع کanal مرطوب [\text{m}] |
| h_{product} | = ضریب جابه‌جایی کanal محصول [\text{w/m}^3] |
| h_{wet} | = ضریب جابه‌جایی در کanal مرطوب [\text{w/m}^3] |
| h_{fg} | = گرمای نهان تبخیر آب [\text{kJ/kg}] |

منابع (References)

- Kowalski, P. and Kwiecień, D. "Evaluation of simple evaporative cooling systems in an industrial building in Poland". *Journal of Building Engineering*, 32, p. 101555 (2020).
- Yang, Y., Cui, G. and Lan, C. Q. "Developments in evap-

- orative cooling and enhanced evaporative cooling-A review". *Renewable and Sustainable Energy Reviews*, **113**, p. 109230 (2019).
3. Landuyt, L., Lauwers, S., De Turck, S. and et al. "Optimization of insulation levels from an environmental perspective: Impact of HVAC controls and personal comfort systems". In *Journal of Physics: Conference Series* **2069**(1), p. 012076, IOP Publishing (2021).
 4. Porumb, B., Ungurean, P., Tutunaru, L. F. and et al. "A review of indirect evaporative cooling technology". *Energy procedia*, **85**, pp. 461-471 (2016).
 5. Shirmohammadi, R. and Gilani, N. "Effectiveness enhancement and performance evaluation of indirect-direct evaporative cooling system for a wide variety of climates". *Environmental Progress & Sustainable Energy*, **38**(3), p. e13032 (2019).
 6. Serale, G., Fiorentini, M., Capozzoli, A. and et al. "Model predictive control (MPC) for enhancing building and HVAC system energy efficiency: Problem formulation, applications and opportunities". *Energies*, **11**(3), p. 631. (2018).
 7. Vytla, J., Rohit, A. K., and Sasikumar, C. "Innovative green technologies enhancing the comfort of HVAC world-A review". (2018).
 8. Gillan, L. "Maisotsenko cycle for cooling processes." *International Journal of Energy for A clean Environment* **9**(1-3), pp. 47-64 (2008).
 9. Mahmood, M.H., Sultan, M., Miyazaki, T. and et al. "Overview of the maisotsenko cycle-A way towards dew point evaporative cooling". *Renewable and Sustainable Energy Reviews*, **66**, pp. 537-555 (2016).
 10. Pandelidis, D., Anisimov, S. and Worek, W.M. "Performance study of the maisotsenko cycle heat exchangers in different air-conditioning applications". *International Journal of Heat and Mass Transfer*, **81**, pp. 207-221. (2015).
 11. Wicker, K. "Life below the wet bulb: The maisotsenko cycle". *Power*, **147**(9), pp. 29-31 (2003).
 12. Anisimov, S., Pandelidis, D., Jedlikowski, A. and et al. "Performance investigation of a M (Maisotsenko)-cycle cross-flow heat exchanger used for indirect evaporative cooling". *Energy*, **76**, pp. 593-606 (2014).
 13. Saidi MH. and Vazirifard S. "Hybrid desiccant cooling systems". *ASHRAE Journal.*, **49**(1), p. 44 (2007).
 14. Borgnakke, C. and Sonntag, R. E. "Fundamentals of thermodynamics". *John Wiley & Sons*. (2020).
 15. Alduchov, O. A. and Eskridge, R. E. "Improved Magnus form approximation of saturation vapor pressure". *Journal of Applied Meteorology and Climatology*, **35**(4), pp. 601-609 (1996).
 16. Fani, Y. and Arnif, I. "Analysis of energy efficiency ratio (EER) in air conditioner (AC) type split". *Vanos Journal of Mechanical Engineering Education*, **4**(1), pp. 45-50 (2019).
 17. Cui, X., Yang, X., Sun, Y. and et al., "Energy Efficient Indirect Evaporative Air Cooling". *Advanced Cooling Technologies and Applications*. IntechOpen., p. ch-2 (2018).
 18. <http://ashrae-meteo.info/v2.0/>
 19. Butera, F.M. "Principles of thermal comfort". *Renewable and Sustainable Energy Reviews*, **2**(1-2), pp. 39-66 (1998).
 20. https://www.seeleyinternational.com/us/corporate/artefacts/?_artefact_type=brochures&_product_id=4571
 21. Rawal, R., Schweiker, M., Kazanci, O. B. and et al. "Personal comfort systems: A review on comfort, energy, and economics". *Energy and Buildings*, **214**, p. 109858 (2020).
 22. <https://rdcir.ir/uploads/images/gallery/roosta/a/b/c/4.pdf>